

日本テトラポッド(株) 正会員 早坂正秋
日本テトラポッド(株) 正会員 水村和正

1. まえがき

二次元模型実験による海浜変形に関する研究は漂砂問題と密接に関連しており、多数の研究者によって解明されてきた。しかしながら、従来海浜断面は Bar 型と Step 型に分類されているにもかかわらず、その力学的機構が明白でない。本研究は Eagleson が導いた砂粒子の外力のつり合い方程式と運動方程式から出発する。与えられた波の条件のもとで一様勾配の海浜断面における砂移動の可能範囲内の最大水深を砂粒子のつり合い方程式から求め、そこで砂移動方向が沖向きか岸向きかを検討するものである。すなはち、この地点での砂移動方向が沖向きであれば、この地点から沖側にかけて砂が堆積する(I型)。反対に、この同じ地点付近での砂移動方向が岸向きである場合は、砂が取られ、洗掘される(III型)。なぜならば、同地点より沖では、力のつり合い方程式より砂移動は発生していない。I型の場合、その汀線は後退し、III型では汀線は前進する。さらに従来の分類法では型の明確でなかった汀線が前進し、沖において砂が堆積するII型があるが、本分類においてはI型の変形に含まれるが、堀川、尾崎らの分類に従ってII型とする。

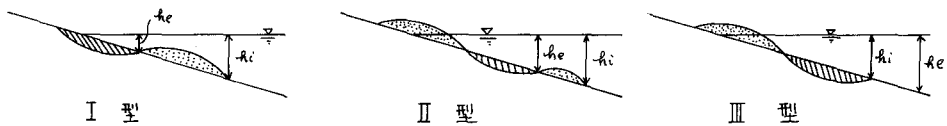


図-1. 海浜の Pattern

2. 経過と考察

砂粒子に作用する外力を用いて運動方程式を導くと(Eagleson)

$$\frac{\bar{U}_s}{C_0} = 0.92 f_1 \left(\frac{h}{L_o}\right) (\beta D)^{\frac{1}{3}} \left(\frac{H_o}{L_o}\right)^2 - \frac{1}{72} \left(\frac{S_f}{S_s - 1}\right) (\beta D)^2 \sin \alpha \quad (1)$$

となる。ここで、\$\bar{U}_s\$: 砂粒子の平均速度、\$C_0\$: 定数、\$f_1\left(\frac{h}{L_o}\right) = \frac{\coth kh}{(\sinh kh)^2 + h_o h}\$、\$k\$: 定数、\$h\$: 水深、\$L_o\$: 沖波波数、\$\beta = \sqrt{\frac{\pi}{\gamma T}}\$、\$\gamma\$: 動粘性係数、\$T\$: 周期、\$D\$: 砂粒子の粒径、\$H_o\$: 沖波波高、\$S_s\$: 砂粒子の比重、\$S_f\$: 流体の比重、\$\tan \alpha\$: 海底勾配、である。

次に、砂粒子に作用する外力のつり合い方程式は

$$\sin \alpha = \frac{726}{\beta D} \cdot \frac{S_f}{S_s - S_f} \cdot \left(\frac{H_o}{L_o}\right)^2 f_2 \left(\frac{h}{L_o}\right) - 1.3 \quad (2)$$

である。ここで、\$f_2\left(\frac{h}{L_o}\right) = \left(kh (\tanh kh)^2 + (\sinh kh)^2 \tanh kh\right)^{-\frac{1}{2}}

また、砂粒子の静止している条件は式(1)において \$\bar{U}_s = 0\$ だから、

$$\sin \alpha = \frac{6.62 \pi^2}{(\beta D)^{\frac{1}{3}}} \cdot \frac{S_f}{S_s - S_f} \cdot \left(\frac{H_o}{L_o}\right)^2 f_1 \left(\frac{h}{L_o}\right) \quad (3)$$

となる。式(2)と(3)における \$f_1\left(\frac{h}{L_o}\right)\$、\$f_2\left(\frac{h}{L_o}\right)\$ と \$\frac{h}{L_o}\$ の関係を両対数グラフにプロット(図-2)すると、\$0.01 < \frac{h}{L_o} < 0.1\$ の領域ではほぼ線型であり、

$$f_1(\frac{h}{L_o}) = b_1 (\frac{h}{L_o})^{-a_1} \quad \text{と} \\ f_2(\frac{h}{L_o}) = b_2 (\frac{h}{L_o})^{-a_2} \quad (4)$$

で充分よく近似できる。式(4)を式(2),(3)に代入し、 $\frac{h}{L_o}$ について解く、ただし式(2),(3)より求まる水深をそれぞれ h_i , h_e とする。

図-1を参照して h_i と h_e の関係を求めると、

$$\frac{\sin^2 \alpha}{(\beta D)^{1-p}} \left(\frac{S_f}{S_s - S_f} \right)^{1-p} \left(\frac{H_o}{L_o} \right)^{1-2p} \text{Const} \leq 1 \quad (5)$$

となる。ここで $p = a_1/a_2 \approx 0.4$ 、式(5)の左辺が 1 より小のとき III型となり、大のとき I型となる。式(5)を変形すると、図-3 は、沖波波形勾配 H_o/L_o を縦軸に、新しいパラメータ $\sin^2 \alpha \left(\frac{H_o}{D} \right)^{3.285} \left(\frac{S_f}{S_s - S_f} \right)^3$ を横軸にとって、堀川・砂村(1974)の実験データおよび尾崎・渡辺(1976)の実験データをこの方法に従って整理プロットしたものである。これによると、沖側にかけて砂が堆積する I型と砂移動方向が岸向きである III型は式(6)によって明瞭に区別される。

積する工型と砂移動方向が岸向きである III型は式(6)によって明瞭に区別される。

$$\sin^2 \alpha \left(\frac{H_o}{D} \right)^{3.285} \left(\frac{S_f}{S_s - S_f} \right)^3 \left(\frac{H_o}{L_o} \right) \leq 0.08 \quad (6)$$

3. むちび

砂粒子の力学方程式から出発して、海浜断面のパターンを支配する物理変数を組み合せた、無次元数が求まり、これから次の性質が判明した。

① 作用する波の波形勾配が大きくなるにつれて、② 底質の比重が小さくなるにつれて、③ 底質の粒径が小さくなるにつれて、④ 海浜断面の底勾配が大きくなるにつれて、破波帯から沖側にかけての領域における砂の移動方向は、沖向きとなる。これらの諸性質は従来の実験等から求まっていた傾向を充分満足している。

(参考文献)

- (1). 石原藤次郎、水工水理学、丸善株式会社、昭和47年6月。
- (2). 堀川、砂村、近藤、波による二次元海浜変形に関する実験的研究、第21回海岸工学講演会論文集、1974年。
- (3). 尾崎、渡辺、波による三次元汀線変化の相似性に関する実験的研究、第23回海岸工学講演会論文集、1976年。

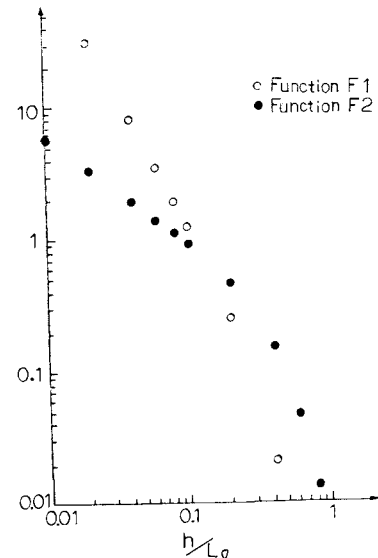


図-2 $f_1(\frac{h}{L_o}), f_2(\frac{h}{L_o})$ と $\frac{h}{L_o}$ の関係

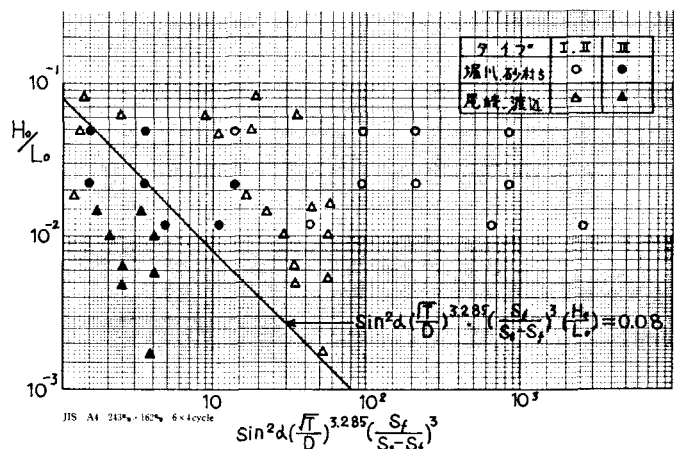


図-3 実験資料による海浜変形のタイプ分け